

УДК 532.516.5+536.25

НЕСТАЦИОНАРНОЕ СВОБОДНО-КОНВЕКТИВНОЕ ОБТЕКАНИЕ ПОЛУБЕСКОНЕЧНОЙ ИЗОТЕРМИЧЕСКОЙ ВЕРТИКАЛЬНОЙ ПЛАСТИНЫ С МАССОПЕРЕНОСОМ

П. ГАНЕСАН, Г. ПАЛАНИ

Факультет математики Анна университета, Ченнай, Индия

Изучалось нестационарное свободно-конвективное обтекание изотермической вертикальной пластины с постоянным потоком массы. Основные дифференциальные уравнения в частных производных преобразуются в систему безразмерных уравнений, которые затем решаются численно конечно-разностным методом. Безразмерные уравнения — нестационарные двумерные сопряженные и нелинейные. Из полученных расчетов выбран представительный набор результатов, отображенных в графической форме. Графики показывают влияние различных физических параметров на локальное и усредненное поверхностное трение, число Нуссельта и число Шервуда.

ВВЕДЕНИЕ

В природных условиях, наряду со свободной конвекцией, вызванной разницей температур, существуют также и потоки, вызванные разницей локальных концентраций компонентов среды. К примеру, в атмосферных потоках может проявиться существенная разница концентраций H_2O . В промышленности для повышения эффективности установок часто используют вдув примесного газа. Это позволяет уменьшить касательные напряжения на стенке, дает возможность контроля эффективности массопереноса и теплоотдачи. Обычно это достигается созданием защитного слоя на поверхности тела, который испаряется под воздействием нагревания и затем смешивается с обтекающим тело потоком воздуха. Поэтому представляется актуальным изучение конвекции в условиях тепломассопереноса для поверхностей различной геометрии.

В работах [1] и [2] для изучения стационарной задачи свободноконвективного тепломассопереноса у вертикальной пластины с однородным распределением температуры и концентрации примеси на поверхности был применен интегральный метод. В работе [3], используя автомодельные переменные, получено стационарное решение для естественной конвекции у вертикальной пластины с переменной температурой поверхности и диффузией массы. В [4] найдено численное решение задачи для неустановившейся свободной конвекции с массопереносом на изотермической вертикальной поверхности с использованием неявной конечно-разностной схемы. В работе [5] решена задача неустановившейся свободной конвекции с массообменом на вертикальной пластине с постоянным потоком тепла, с использованием неявной конечно-разностной схемы расчета.

Сопряженная задача тепломассоотдачи на вертикальной пластине путем естественной конвекции еще не рассматривалась. В то же время, не всегда условия для массоотдачи имеют вид распределения концентрации примеси по поверхности. Часто это граничное условие задается в виде потока массы. Поэтому приходится решать задачу переходного нестационарного свободноконвективного течения возле изотермической вертикальной пластины с потоком массы.

1. ПОСТАНОВКА ЗАДАЧИ

Рассмотрим двухмерный нестационарный поток вязкой несжимаемой жидкости возле полубесконечной вертикальной пластины. Пусть концентрация C' диффундирующего компонента в бинарной смеси будет намного меньше концентрации остальных химических компонентов таким образом, что можно пренебречь эффектами Соре и Дюфура. Предполагается, что в уравнении энергии можно пренебречь эффектом вязкой диссипации. Начальные условия предполагают равенства температуры и концентрации для пластины и обтекающей жидкости. В момент времени $t' \geq 0$ температура стенки повышается до T'_w , и через стенку с постоянной скоростью подается постоянный поток массы. Ось x направлена вдоль пластины, а ось y — по нормали к стенке. Тогда, согласно стандартному приближению Буссинеска, течение в пограничном слое описывается следующими уравнениями:

$$\frac{\partial u}{\partial x} + \frac{\partial v}{\partial y} = 0,$$

$$\frac{\partial u}{\partial t'} + u \frac{\partial u}{\partial x} + v \frac{\partial u}{\partial y} = g\beta(T' - T'_\infty) + g\beta^*(C' - C'_\infty) + \nu \frac{\partial^2 u}{\partial y^2},$$

$$\frac{\partial T'}{\partial t'} + u \frac{\partial T'}{\partial x} + v \frac{\partial T'}{\partial y} = \alpha \frac{\partial^2 T'}{\partial y^2},$$

$$\frac{\partial C'}{\partial t'} + u \frac{\partial C'}{\partial x} + v \frac{\partial C'}{\partial y} = D \frac{\partial^2 C'}{\partial y^2}.$$

Начальные и граничные условия имеют вид:

$$t' \leq 0: u = 0, v = 0, T' = T'_\infty, C' = C'_\infty$$

$$t' > 0: u = 0, v = 0, T' = T'_w, \frac{\partial C'}{\partial y} = -\frac{q_w}{D} \text{ при } y = 0,$$

$$u = 0, T' = T'_\infty, C' = C'_\infty \text{ при } x = 0,$$

$$u \rightarrow 0, T' \rightarrow T'_\infty, C' \rightarrow C'_\infty \text{ при } y \rightarrow \infty.$$

Вводя безразмерные величины:

$$X = \frac{x}{L}, \quad Y = \frac{y}{L} \text{Gr}^{1/4}, \quad U = \frac{uL}{\nu} \text{Gr}^{-1/2}, \quad V = \frac{vL}{\nu} \text{Gr}^{-1/4},$$

$$t = \frac{\nu t'}{L^2} \text{Gr}^{1/2}, \quad T = \frac{T' - T'_\infty}{T'_w - T'_\infty}, \quad C = \frac{(C' - C'_\infty)}{[q_w L / D]} \text{Gr}^{1/4},$$

$$\text{Gr} = \frac{g\beta L^3 (T'_w - T'_\infty)}{\nu^2}, \quad \text{Gc} = \frac{g\beta^* L^4 q_w}{\nu^2 D}$$

$$\text{Pr} = \frac{\nu}{\alpha}, \quad \text{Sc} = \frac{\nu}{D}, \quad N = \frac{\text{Gc}}{\text{Gr}},$$

приводим исходные уравнения к следующему виду:

$$\frac{\partial U}{\partial X} + \frac{\partial V}{\partial Y} = 0 \quad (1)$$

$$\frac{\partial U}{\partial t} + U \frac{\partial U}{\partial X} + V \frac{\partial U}{\partial Y} = T + \text{Nu Gr}^{-1/4} C + \frac{\partial^2 U}{\partial Y^2} \quad (2)$$

$$\frac{\partial T}{\partial t} + U \frac{\partial T}{\partial X} + V \frac{\partial T}{\partial Y} = \frac{1}{\text{Pr}} \frac{\partial^2 T}{\partial Y^2} \quad (3)$$

$$\frac{\partial C}{\partial t} + U \frac{\partial C}{\partial X} + V \frac{\partial C}{\partial Y} = \frac{1}{\text{Sc}} \frac{\partial^2 C}{\partial Y^2} \quad (4)$$

Соответствующие начальные и граничные условия для безразмерных переменных имеют вид:

$$\begin{aligned} t \leq 0 : U &= 0, \quad V = 0, \quad T = 0, \quad C = 0, \\ t > 0 : U &= 0, \quad V = 0, \quad T = 1, \quad \frac{\partial C}{\partial Y} = -1 \quad \text{при } Y = 0, \\ U &= 0, \quad T = 0, \quad C = 0 \quad \text{при } X = 0, \\ U &\rightarrow 0, \quad T \rightarrow 0, \quad C \rightarrow 0 \quad \text{при } Y \rightarrow \infty. \end{aligned} \quad (5)$$

Локальное и среднее поверхностное трение в безразмерном виде описывается выражениями:

$$\tau_x = \text{Gr}^{3/4} \left(\frac{\partial U}{\partial Y} \right)_{Y=0}, \quad (6)$$

$$\bar{\tau} = \text{Gr}^{3/4} \int_0^1 \left[\frac{\partial U}{\partial Y} \right]_{Y=0} dX. \quad (7)$$

Локальное и среднее числа Нуссельта связаны с безразмерными величинами следующими соотношениями:

$$\text{Nu}_x = -X \text{Gr}^{1/4} \left(\frac{\partial T}{\partial Y} \right)_{Y=0}, \quad (8)$$

$$\bar{\text{Nu}} = -\text{Gr}^{1/4} \int_0^1 \left[\left(\frac{\partial T}{\partial Y} \right)_{Y=0} \right] dX. \quad (9)$$

Локальное и усредненное числа Шервурда в безразмерных переменных:

$$\text{Sh}_x = -X \text{Gr}^{1/4} \left(\frac{\partial C}{\partial Y} \right)_{Y=0}, \quad (10)$$

$$\bar{\text{Sh}} = -\text{Gr}^{1/4} \int_0^1 \left[\left(\frac{\partial C}{\partial Y} \right)_{Y=0} \right] dX. \quad (11)$$

Производные в уравнениях с (6) по (11) описываются пятиточечной схемой аппроксимации и затем интегралы вычисляются по формуле интегрирования Ньютона — Котесса.

2. ЧИСЛЕННЫЕ МЕТОДЫ

Для решения безразмерных уравнений (1) – (4) при начальных и граничных условиях (5) применялась неявная конечно-разностная схема типа Кранка — Николсона. Методы решения конечно-разностных уравнений типа Кранка — Николсона обсуждались в работе [5]. Область интегрирования берется в виде прямоугольника со сторонами $X_{\max} (= 1,0)$ и $Y_{\max} (= 22,0)$, где Y_{\max} соответствует $Y = \infty$ и лежит далеко за пределами динамического теплового и диффузионного пограничных слоев. Для расчетов размер сетки выбран $\Delta X = 0,05$, $\Delta Y = 0,25$, а временной шаг — равным $\Delta t = 0,01$. Вычисления проводились до достижения стационарного состояния. Такое стационарное решение считается достигнутым, если абсолютная разница между вычисленными значениями скорости U , а также температуры T и концентрации C на двух последовательных временных шагах была меньше чем 10^{-5} для всех точек сетки. Неявная конечно-разностная схема Кранка — Николсона всегда устойчива и сходится.

3. РЕЗУЛЬТАТЫ И ОБСУЖДЕНИЕ

На рис. 1, 2, 3 представлены локальные значения поверхностного трения, чисел Нуссельта и Шерворда, соответственно. Из рис. 1 видно, что увеличение Sc ведет к падению поверхностного трения при постоянном N , но локальный коэффициент

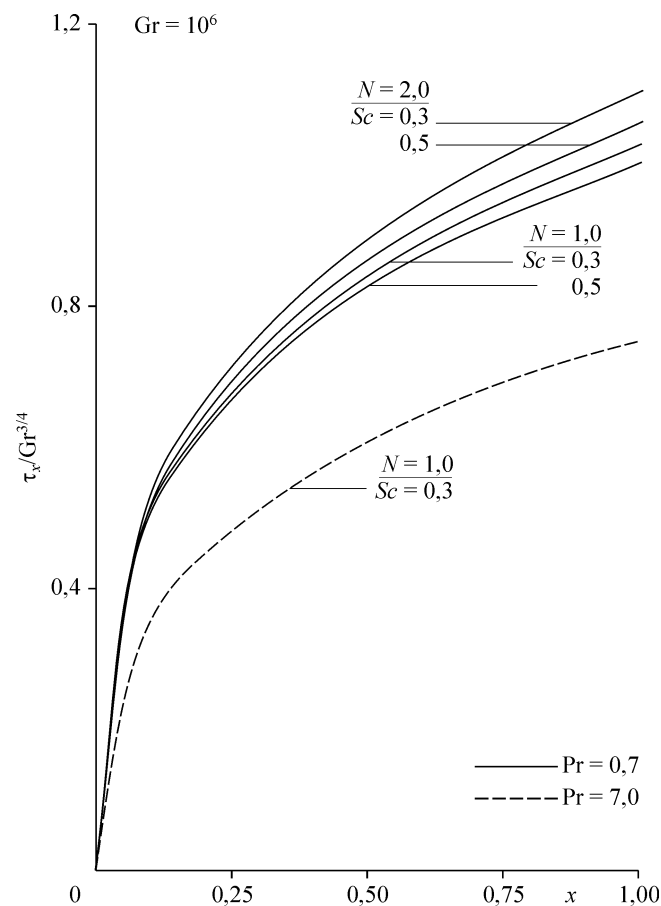


Рис. 1. Локальное поверхностное трение.

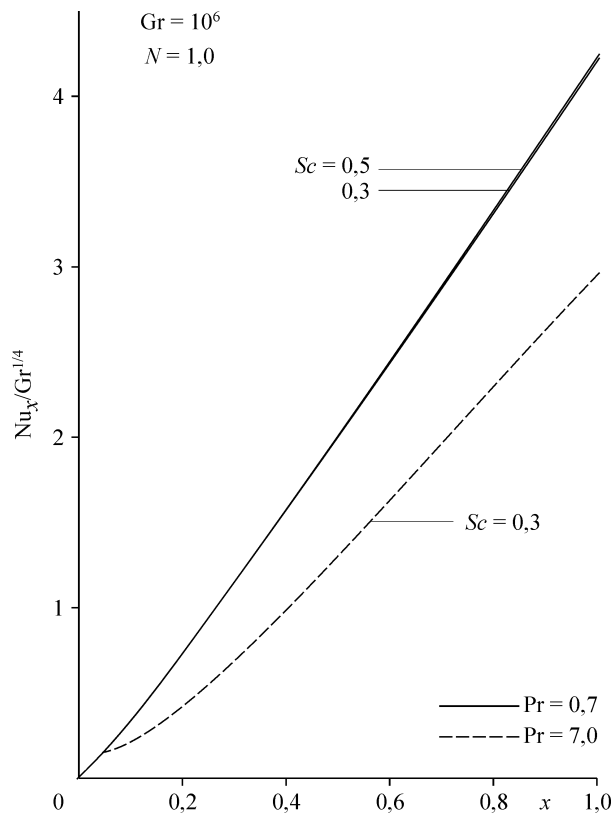


Рис. 2. Локальное число Нуссельта.

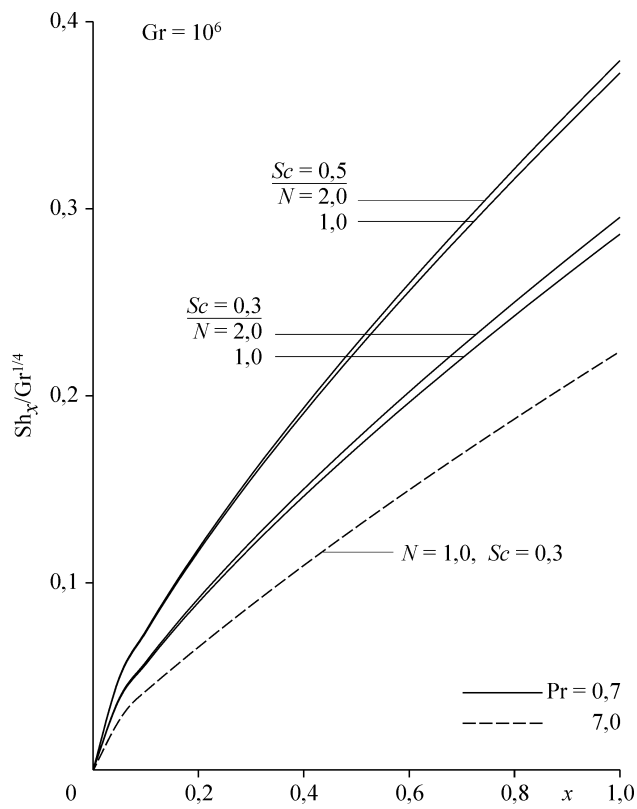


Рис. 3. Локальное число Шервуда.

трения с ростом N возрастает. На передней кромке пластины локальное поверхностное трение почти не зависит от присутствия газовой примеси в ее окрестности, поскольку там тепло- и массоперенос определяются чистой теплопроводностью и чистой диффузией газовой добавки, так что поле скорости не зависит от конвективных потоков тепла и массы. На рис. 2 можно отметить, что рост Sc вызывает рост локального числа Нуссельта, но при этом рост числа Pr вызывает его падение. При малых величинах X , т. е. близко к переднему краю пластины, число Sc не влияет на локальное число Нуссельта, поскольку там реализуются условия чистой диффузии и теплопроводности. Можно заключить из данных на рис. 3, что рост критериев Sc или N приводит к росту локального числа Шервурда. При малых X , из-за чистой теплопроводности и диффузии, параметры Sc и N не оказывают какого-либо влияния на локальное число Шервурда.

На рис. 4, 5 и 6 представлены графики усредненных величин поверхностного трения, чисел Нуссельта и Шервурда соответственно.

Усредненное поверхностное трение возрастает на малых начальных промежутках времени t , но затем на больших интервалах времени остается независимым от t , т. е. временная зависимость проявляется только при малых временах в режиме установления. Усредненное поверхностное трение уменьшается с ростом величины Sc , однако оно возрастает с ростом N для всего переходного периода и также для стационарного состояния. Можно прийти к выводу, что усредненное поверхностное трение уменьшается с ростом числа Pr . Видно (см. рис. 5), что усредненное число Нуссельта резко падает на малом начальном промежутке времени t , но не зависит от изменений в Sc или N ; однако при больших временах t число Нуссельта уже не зависит от времени. Усредненное число Нуссельта снижается с уменьшением

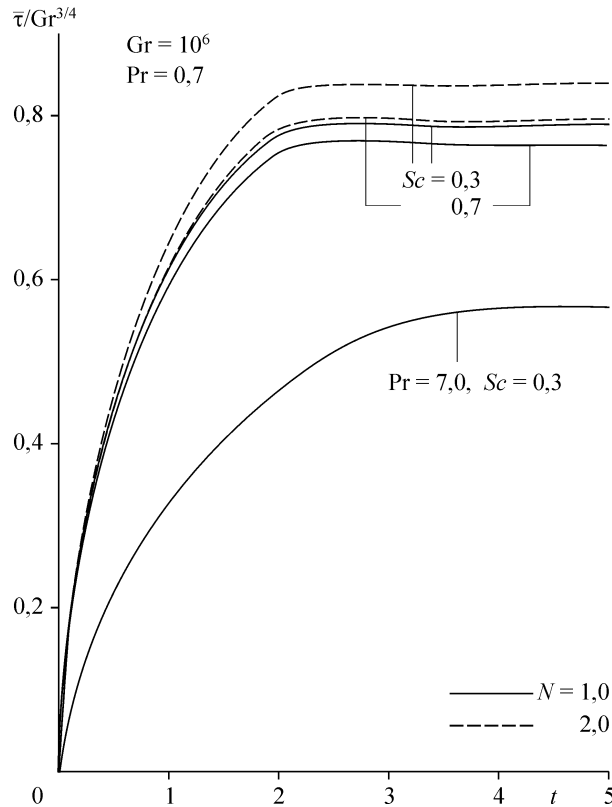


Рис. 4. Усредненное поверхностное трение.

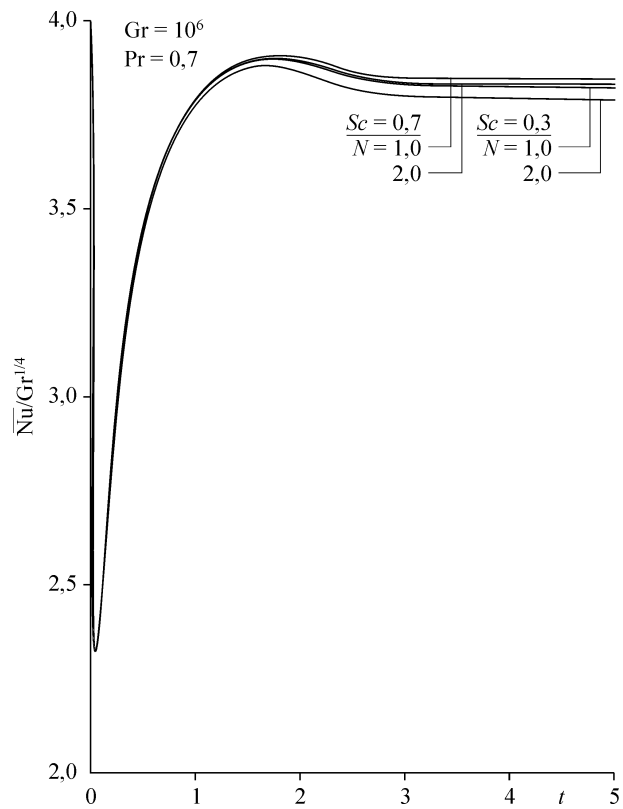


Рис. 5. Усредненное число Нуссельта.

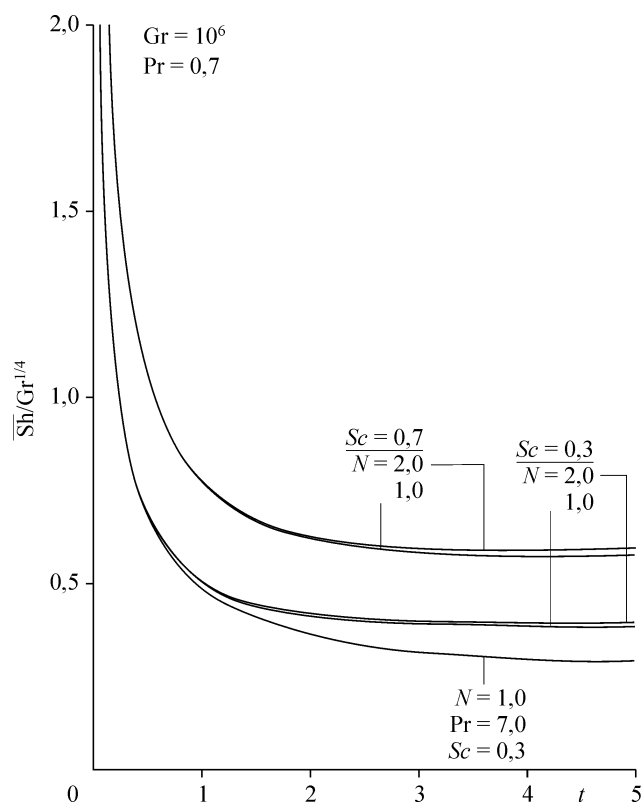


Рис. 6. Усредненное число Шервуда.

величины Sc , но возрастает с увеличением N для переходного и стационарного периодов. Ход усредненного числа Шервурда (см. рис. 5) такой же, как и для локального числа Шервурда в зависимости от чисел Sc , Pr и N . Но усредненное число Шервурда при больших временах становится независимым от времени.

ОБОЗНАЧЕНИЯ

C' — концентрация компонента,	Sh_x — безразмерное локальное число Шервурда,
C — безразмерная концентрация компонента,	T' — температура,
D — коэффициент диффузии в смеси,	T — безразмерная температуры,
Gc — число Грасгофа по массе,	t' — время,
Gr — число Грасгофа,	t — безразмерное время,
g — ускорение силы тяжести,	u, v — компоненты скорости в направлении x, y соответственно,
\overline{Nu} — безразмерное усредненное число Нуссельта,	U, V — безразмерные компоненты скорости в направлении X, Y соответственно,
Nu_x — безразмерное локальное число Нуссельта,	x — пространственная координата вдоль пластины,
Pr — число Прандтля,	X — безразмерная пространственная координата,
q_w — поток массы через единицу площади;	y — пространственная координата вверх по нормали к пластине,
Sc — число Шмидта,	Y — безразмерная пространственная координата вверх по нормали к пластине,
Sh — безразмерное усредненное число Шервурда,	ν — кинематическая вязкость,
α — коэффициент температуропроводности,	ρ — плотность,
β — объемный коэффициент теплового расширения,	τ_x — безразмерное локальное поверхностное трение,
β^* — объемный коэффициент расширения при изменении концентрации,	τ — безразмерное усредненное поверхностное трение.

ИНДЕКСЫ

W — условия на стене,

∞ — условие свободного потока.

СПИСОК ЛИТЕРАТУРЫ

1. Somers E.V. Theoretical considerations of combined thermal and mass transfer from a vertical flat plate // J. Appl. Mech. — 1956. — Vol. 23. — P. 295–301.
2. Wilcox W.R. Simultaneous heat and mass transfer in free convection // Chem. Engng. Sci. — 1961. — Vol. 13. — P. 113–119.
3. Gebhart B, Pera L. The nature of vertical natural convection flows resulting from the combined buoyancy effects of thermal and mass diffusion // Int. J. Heat Mass Transfer. — 1971. — Vol. 14. — P. 2025–2050.
4. Callahan G.D., Marner W.J. Transient free convection with mass transfer on an isothermal vertical flat plate // Int. J. Heat Mass Transfer. — 1976. — Vol. 19. — P. 165–174.
5. Soundalgekar V.M., Ganesan P. Transient free convection with mass transfer on a vertical plate with constant heat flux // Energy Research. — 1985. — Vol. 9. — P. 1–17.

Статья поступила в редакцию 1 октября 2004 г.